

ریخت‌شناسی بافت بیضه و ساختار اسپرماتوزوید مارماهی دهان گرد خزری (*Caspiomyzon wagneri*)

باقر مجازی امیری^۱، سهیل ایگدری^{*}، هادی پورباقر^۱، مریم پورمقدم^۱، نیما نعمتی میبن^۱

^۱ گروه شیلات، پردیس کشاورزی و منابع طبیعی کرج، دانشکده منابع طبیعی، دانشگاه تهران، کرج، ایران، صندوق پستی: ۳۱۵۸۵ ۴۳۱۴

تاریخ پذیرش: ۲۰ شهریور ۱۳۹۵

تاریخ دریافت: ۲۰ فروردین ۱۳۹۵

چکیده

مطالعه تاثیر عوامل محیطی بر ویژگی‌های اسپرم ماهی‌ها نیازمند داشتن اطلاعات اولیه در مورد ساختار اسپرم می‌باشد. با توجه به این که در مورد ساختار ریخت‌شناسی اسپرم گونه دهان گرد خزری (*Caspiomyzon wagneri*) هیچ گونه اطلاعاتی در دسترس نمی‌باشد. از این‌رو مطالعه حاضر، با هدف بررسی ریخت‌شناسی بافت بیضه و ساختار اسپرماتوزوید مارماهی دهان گرد خزری در قصل تولیدمثل به اجرا درآمد. برای بررسی بافت‌شناسی، از بیضه ۱۵ عدد مارماهی دهان گرد خزری در حال مهاجرت به رودخانه شیرود نمونه‌برداری صورت گرفت و مقاطع بافتی از آنها براساس روش پارافینه تهیه گردید. جهت مطالعه شاخص‌های ریخت‌شناسی اسپرم شامل: شکل و طول اسپرم، طول، عرض و مساحت سر، طول و عرض تازک، بیضی واری و کشیدگی سر، اسپرم‌ها پس از استحصال، بلافاصله در محلول گلوتارآلデئید تثیت و توسط میکروسکوپ الکترونی SEM مورد بررسی قرار گرفتند. نتایج نشان داد که بیضه در مارماهی دهان گرد خزری از نوع لوبولار بوده و لوبول‌ها با سلول‌های بینایی، غیرولاست‌ها، رگ‌های خونی و رگ‌های لنفاوی احاطه شده است. در زمان نمونه‌برداری (اواسط اردیبهشت ماه)، بیضه ماهیان در مرحله‌ی V رسیدگی قرار داشته و مملو از اسپرماتوزوآ بودند. نتایج مطالعه میکروسکوپ الکترونی نشان داد که اسپرم این گونه در مقایسه با سایر گونه‌های لامبری کوتاه‌تر و دارای طول و کشیدگی سر کم‌تری است و همچنین شکل کیسه‌ی آکروزوم نیز در قسمت قدامی آن به صورت مسطح می‌باشد.

کلمات کلیدی: بیضه، اسپرماتوزوید، ریخت‌شناسی، مارماهی دهان گرد، میکروسکوپ الکترونی.

* عهده‌دار مکاتبات (✉) soheil.eagderi@ut.ac.ir

خارجی هستند، اما اسپرماتوزوید آن‌ها غالباً خصوصیات اسپرم بالقاح داخلی را نشان می‌دهد که از جمله آن‌ها داشتن هسته‌ی کشیده، منفذ طویل هسته و نه رشتہ فیبری در اطراف آگزونم می‌باشد. بتاراین این احتمال وجود دارد که اجداد این ماهیان دارای لقاح داخلی بوده‌اند (Jamieson, 1991).

در مطالعات انجام گرفته، ویژگی‌های اسپرماتوزوید گونه‌های مارماهی دهان‌گرد غیر انگلی مانند *Mordacia mordoxas* و *Lampetra planeri* با *Lampetra fluviatilis* اندکی مانند مشابه *Mordacia praecox* و *Lampetra japonica* بودند (Kobayashi, 1993). کیسه‌ی آکروزوم در گونه‌های مختلف دارای شکل‌های متفاوتی می‌باشد، به طوری که در گونه‌ی *Lampetra planeri* تخم مرغی شکل و در گونه‌ی *Lampetra japonica* کاملاً مسطح گزارش شده است. علاوه بر این اندازه اسپرماتوزوید نیز در گونه‌های مختلف لامپری‌ها متفاوت می‌باشد، به طوری که در گونه‌ی *Lampetra japonica* طول اسپرماتوزوید ۱۳۰ میکرومتر و در گونه‌ی *Lampetra planeri* ۱۴۰ میکرومتر گزارش شده است (Jamieson, 1991). همچنین طول قسمت سر در گونه‌ی *Lampetra japonica* حدود ۸ میکرومتر و در گونه‌ی *Lampetra planeri* حدود ۱۶–۱۶ میکرومتر می‌باشد (Jamieson, 1991).

تولیدمثل جنسی در موجودات وابسته به تولید اسپرماتوزویدهایی با کیفیت بالا می‌باشد و خسارت‌های واردہ به ساختار اسپرماتوزوید توسط آلاتنده‌های محیطی، انجاماد اسپرم، جهش ژنتیکی و سایر عوامل می‌تواند توانایی باروری اسپرماتوزوید را تحت تاثیر قرار دهد. تغییر در ساختار اسپرماتوزوید

مقدمه

مارماهی دهان‌گرد خزری (*Caspiomyzon wagneri*) از ماهیان بومی دریای خزر بوده و در حوضه‌های آبریز شمالی، غربی و جنوبی آن زیست می‌کند. این گونه در رودخانه‌های حوضه‌ی آبریز جنوب دریای خزر شامل گرگان‌رود، تجن، بابل‌رود و شیرود یافت می‌شود. تولیدمثل آن از فروردین تا خرداد هر سال، در دمای ۱۵ تا ۲۲ درجه سانتی‌گراد با مهاجرت به رودخانه‌های محل تخم‌ریزی صورت می‌پذیرد (ستاری، ۱۳۸۱). بیضه لامپری‌ها منفرد بوده و از خط میانی بدن آویزان است. این غده در نمونه‌های نابالغ ساختاری نازک و قطعه قطعه داشته، اما در هنگام بلوغ، تمامی حفره‌ی بدن را پر می‌کند، به طوری که سایر امعاء و احشاء را نیز تحت فشار قرار می‌دهد. به علاوه لامپری‌ها قادر مجرای اسپرم بر هستند و به عبارت دیگر در هنگام تولیدمثل، اسپرماتوزوید به داخل حفره بدن ریخته و سپس از طریق منفذ شکمی زوج به سینوس ادراری تاسلی راه می‌یابد (Jamieson, 1991).

ساختار اسپرماتوزوید در گونه‌های مختلف ماهیان به شیوه‌ی لقاح آن‌ها در طبیعت وابسته است (Billard and Cosson, 1992). اسپرماتوزوید در تمام ماهیان شامل سه بخش اصلی سر، قطعه میانی و تازک می‌باشد (Linhart et al., 1991). شکل سر اسپرماتوزوید در گونه‌های مختلف ماهیان متفاوت است. به طوری که شکل آن از ساده و گرد در ماهی کپور تا کمی کشیده در قزل‌آلای رنگین کمان و بسیار کشیده در ماهیان خاویاری، مارماهیان و دهان‌گردان متغیر می‌باشد (Billard, 1986). به نظر می‌رسد رابطه‌ی نزدیکی بین شکل سر و مکانیسم ورود اسپرماتوزوید به تخمک در زمان لقاح وجود داشته باشد. لامپری‌ها دارای لقاح

ماهیان شسته و خشک شده و نمونه‌برداری از طریق برش ناحیه‌ی شکمی صورت پذیرفت. نمونه‌های بیضه بالاً فاصله پس از برداشت در داخل محلول بوئن ثبیت شدند. پس از آماده‌سازی بافت‌ها براساس روش معمول پارافینه کردن، برش‌های بافتی به ضخامت ۵ تا ۱۰ میکرون تهیه گردید. رنگ آمیزی نمونه‌ها نیز با استفاده از روش هماتوکسیلین و انوزین انجام شد (Banaee *et al.*, 2013). مقاطع بافتی تهیه شده توسط میکروسکوپ نوری مجهز به دوربین عکاسی دیجیتال Canon (با قدرت تفکیک ۶ مگاپیکسل)، بررسی و مورد عکس‌برداری قرار گرفتند.

در مرحله بعد به منظور بررسی شاخص‌های ریخت‌شناسی اسپرم مارماهی دهان‌گرد خزری و مقایسه آن با اسپرم سایر گونه‌های دهان‌گردان، شاخص‌های ریختی شامل شکل و طول اسپرم، طول، عرض و مساحت سر، طول و عرض تاژک، عرض تاژک، بیضی‌واری و کشیدگی سر (به صورت درصد) مورد بررسی قرار گرفت. شاخص بیضی‌واری از فرمول Ellipticity=W/L که در آن W عرض سر و L طول سر اسپرم بود، محاسبه گردید (Haruo and Tadashi, 1981; Jaana and Yamamoto, 1981; Psenicka *et al.*, 2007). برای این منظور اسپرم تعداد ۱۵ نمونه به وسیله فشردن ناحیه شکمی استحصال گردید و اسپرم‌ها بالاً فاصله در محلول گلوتارآلدئید ۲/۵ درصد در ۰/۱ مولار فسفات بافیری در دمای ۴ درجه سانتی گراد ثبیت شدند تا برای بررسی توسط میکروسکوپ الکترونی SEM آماده گردند (Psenicka *et al.*, 2007).

به واسطه این عوامل می‌تواند سبب کاهش نرخ لفاح گردد. به طور مثال ممکن است تغییر ساختار، پارامترهای تحرک را تحت تاثیر قرار داده، و یا با افزایش قطر سر، از ورود اسپرماتوزوید به میکروپیل جلوگیری کند (Recio *et al.*, 2005). از این‌رو در مطالعات تاثیر عوامل مختلف محیطی بر ساختار اسپرم، داشتن اطلاعات اولیه در مورد ساختار اسپرم از ضروریات اولیه تحقیق می‌باشد. در مورد ساختار ریخت‌شناسی اسپرم برخی گونه‌های لامپری مطالعاتی صورت گرفته است، اما هیچ گونه اطلاعاتی در مورد ساختار اسپرم دهان‌گرد خزری به عنوان یک گونه بومی دریای خزر در دسترس نمی‌باشد، از این‌رو تحقیق حاضر با هدف بررسی ساختار ریخت‌شناسی اسپرم مارماهی دهان‌گرد خزری به اجرا درآمد. نتایج این بررسی علاوه بر فراهم آوردن اطلاعات پایه در مورد ویژگی‌های ریختی اسپرم مارماهی دهان‌گرد خزری می‌تواند در تهیه اطلاعات پایه جهت تکثیر مصنوعی احتمالی آن مورد استفاده قرار گیرد.

مواد و روش‌ها

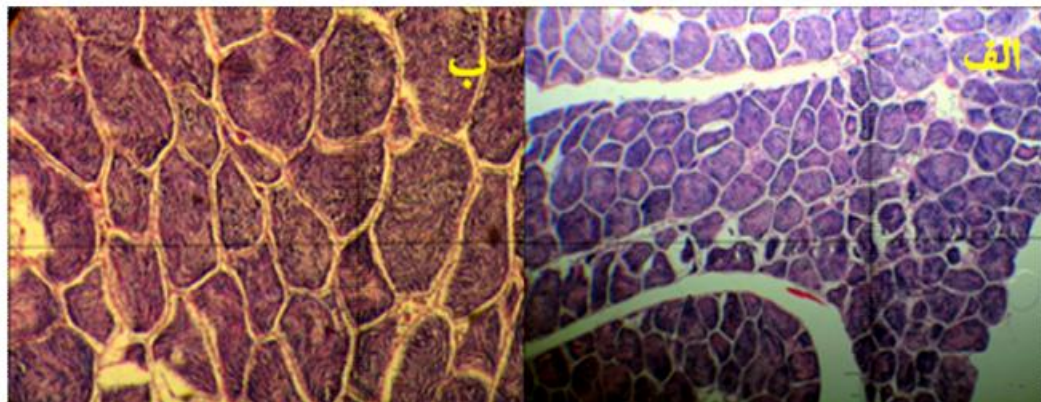
نمونه‌برداری از مارماهیان دهان‌گرد خزری در حال مهاجرت برای تخم‌ریزی در محل پایه‌ی پل روخانه‌ی شیرود، واقع در شهرستان تنکابن و در نزدیکی مصب روخانه در فصل فروردین ماه ۱۳۹۱ انجام پذیرفت. در این تحقیق در مرحله‌ی اول ریخت-بافت‌شناسی ساختار بیضه مارماهی دهان‌گرد خزری قبل از اسپرم‌ریزی مورد بررسی قرار گرفت. برای این منظور، از بافت بیضه ۱۵ عدد مارماهی دهان‌گرد خزری که در حال مهاجرت جهت تولید مثل بوده و هنوز اقدام به اسپرم ریزی نکرده بودند، نمونه‌برداری صورت گرفت. قبل از نمونه‌برداری

مختلف از حالت‌های طبیعی و غیرطبیعی اسپرم عکس تهیه شد. سنجش فواصل طولی و مساحت بخش‌های مختلف از روی تصاویر میکروسکوپ الکترونی SEM با استفاده از نرم‌افزار ImageJ انجام شد.

نتایج

بررسی بافت بیضه مارماهی دهان‌گرد خزری: نتایج بافت‌شناسی نشان داد که بیضه در مارماهی دهان‌گرد خزری از نوع لوپولار بوده و لوپول‌ها با سلول‌های بینایی، فیروblast‌ها، رگ‌های خونی و رگ‌های لنفاوی احاطه شده است (شکل‌های ۱ و ۲). در زمان نمونه برداری (اواسط اردیبهشت‌ماه) که تقریباً انتهای فصل تولیدمثل این ماهی می‌باشد، بیضه در مرحله V رسیدگی قرار دارد و معلو از اسپرماتوزوآمی باشد (شکل ۲).

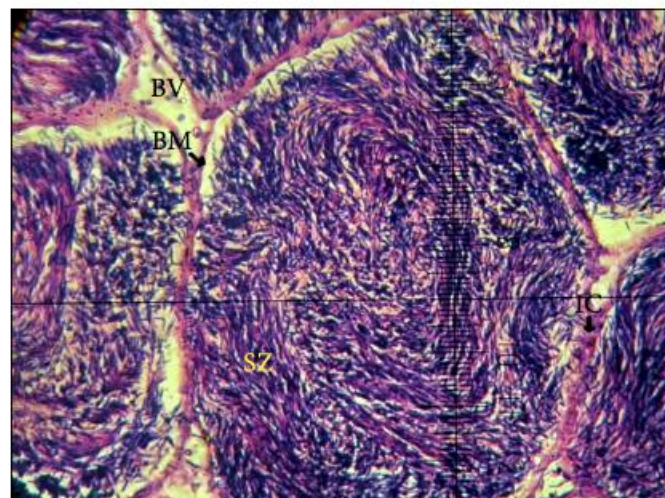
جهت آماده‌سازی نمونه‌ها برای میکروسکوپ الکترونی، در مرحله نخست اسپرم‌ها و مواد ثبت کننده توسط فیلترهای کاغذی صاف شده و کاغذ صافی توسط فسفات بافر ۰/۱ مولار حاوی ۱۰ درصد سوکروز سه مرتبه در دمای ۴ درجه سانتی‌گراد با فواصل زمانی یک ساعت شسته شدند. در مرحله بعد نمونه‌ها توسط محلول اسیموم تراکساید ۴٪ به مدت ۲ ساعت در ۴ درجه سانتی‌گراد شسته شده و سپس با استفاده از غلظت‌های مختلف محلول استون (۵۰، ۳۰، ۷۰، ۹۰، ۹۵ و ۱۰۰٪) به مدت ۱۵ دقیقه آب‌گیری شدند. پس از قراردادن اسپرم‌ها در یک قطعه فویل آلومینیومی صیقل داده شده به ابعاد 1×1 سانتی‌متر، توسط دستگاه اسپوت‌کوتر به مدت ۷۰ ثانیه با حدود ۳۰ نانومتر طلا پوشانده شدند (Psenicka, et al., 2007). از نمونه‌ها توسط میکروسکوپ الکترونی SEM فیلیپس (مدل XL-30، ساخت کشور هلند) با بزرگنمایی‌های



شکل ۱: بافت بیضه در مارماهی دهان‌گرد خزری در مرحله V رسیدگی (الف) بزرگنمایی $100\times$ و (ب) بزرگنمایی $400\times$ (رنگ آمیزی هماتوکسیلین و ائوزین).

فراوان بخوبی قابل مشاهده بودند (شکل‌های ۱ و ۲). در این مرحله مارماهی دهان‌گرد خزری آماده‌ی اسپرم‌ریزی بوده و با اندکی فشار در ناحیه شکمی، اسپرم آن‌ها آزاد می‌گردید.

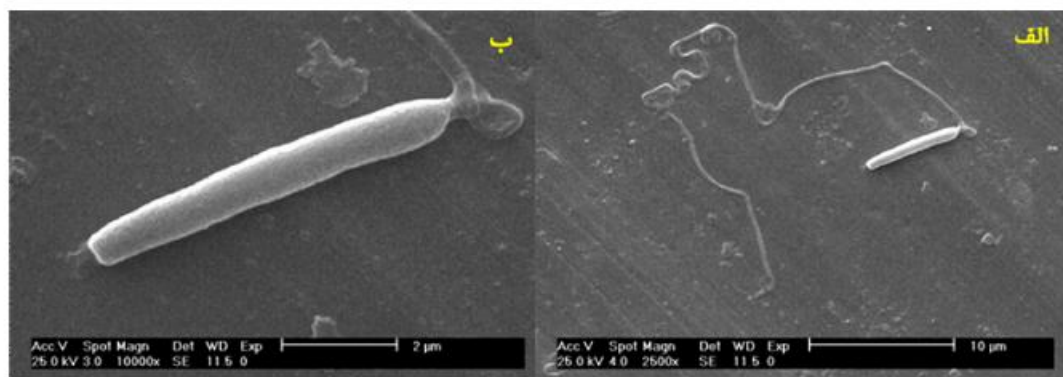
در این مرحله، فضای بین لوپولی کاهش یافته، دیواره لوپولی نازک‌تر شده و حجم لوپول‌ها نیز افزایش یافته بود. لوپول‌ها ابانته از اسپرماتوزوئید‌های تمایز یافته بودند و کانال‌های اسپرمی و عروق خونی



شکل ۲: لوپول مملو از اسپرماتوزوید در مارماهی دهان گرد خزری (بزرگنمایی $1000\times$ و رنگ آمیزی هماتوكسیلین و ائوزین) (غشاء پایه=BM، سلول‌های بینیانی=IC، رگ حونی=BV و اسپرماتوزوئید=SZ).

آکروزوم آن نیز به صورت مسطح در قسمت قدامی سر قرار دارد. قطعه‌ی میانی اسپرم به صورت واضح قابل مشاهده نبود. تازک اسپرم نیز طویل و طولی معادل ۱۱-۱۲ برابر طول سر را شامل می‌شود (شکل ۳).

بررسی ریخت‌شناسی و مطالعه‌ی شاخص‌های ریختی اسپرم مارماهی دهان گرد خزری: نتایج تصاویر میکروسکوب الکترونی SEM نشان داد که اسپرماتوزوئید مارماهی دهان گرد خزری دارای سری استوانه‌ای شکل، طویل و با دیواره‌های صاف و بدون چین خوردگی می‌باشد. کیسه‌ی



شکل ۳: ساختار طبیعی اسپرم مارماهی دهان گرد خزری. میکروسکوب الکترونی SEM (الف) $\times 5000$ و (ب) $\times 10000$

جدول ۱: مشخصات ریخت شناسی اسپرم مارماهی دهان‌گرد خزری.

Max	Min	محدوده (با بیشترین)	Mean \pm SD	مشخصهای ریختنی
۸/۶	۵/۶	۶/۵-۷/۲۵	۷/۰۱ \pm ۰/۶۳	طول سر (μm)
۱/۴۱	۰/۸۰	۰/۹۹-۱/۱۷	۱/۰۸ \pm ۰/۱۲	عرض سر (μm)
۸/۳	۳/۹۱	۵/۶-۶/۵	۵/۹ \pm ۰/۸۴	سطح سر (μm^2)
۸۶	۶۵	۷۲-۷۸	۷۵/۳ \pm ۴/۵	طول تازک (μm)
۰/۵۳	۰/۲۷	۰/۳۴-۰/۴۰	۰/۳۷ \pm ۰/۰۶	عرض تازک (μm)
۹۲	۷۱	۷۹-۸۵	۸۲/۳ \pm ۴/۵	طول کل (μm)
۰/۲۵	۰/۱	۰/۱۴-۰/۱۷	۰/۱۵۶ \pm ۰/۰۲۳	شاخص بیضیواری
۸۱/۳	۶۰/۵	۷۰/۵-۷۵/۵	۷۳/۰ \pm ۳/۴	کشیدگی سر (%)

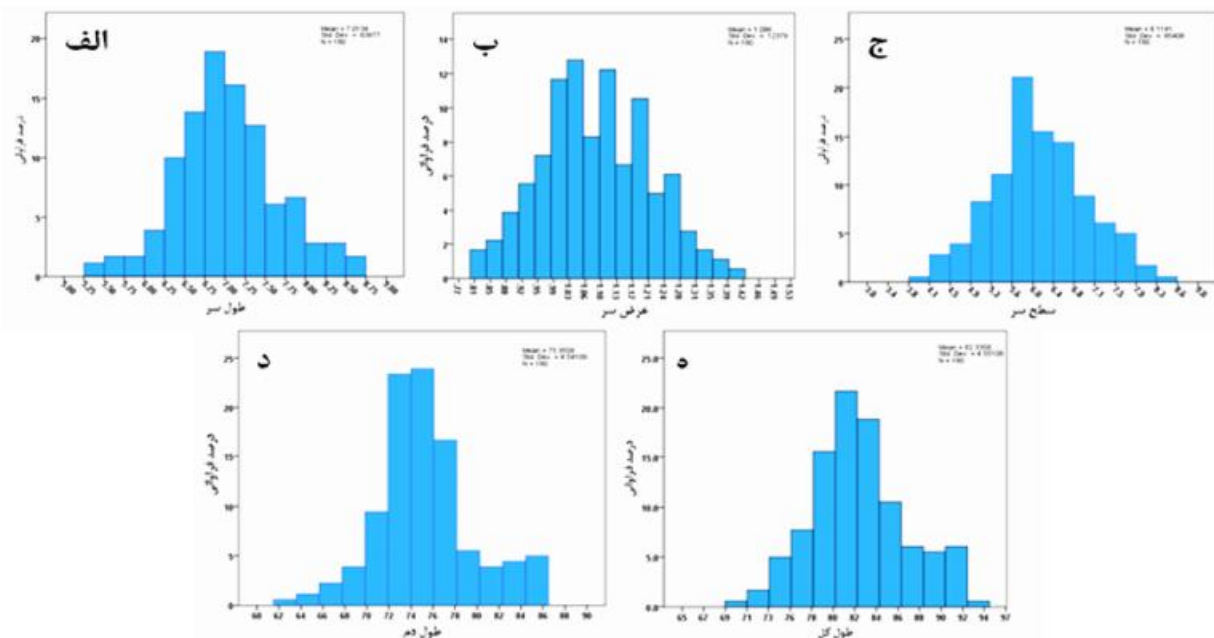
۵/۶-۶/۵ میکرومتر مربع، ۱۹ درصد از سطح سر اسپرم‌ها در محدوده ۴/۹-۵/۶ میکرومتر مربع و ۸ درصد در محدوده کمتر از ۴/۹ میکرومتر مربع قرار داشتند. همچنین ۱۵ درصد در محدوده ۶/۵-۷/۱ میکرومتر مربع و ۶ درصد در محدوده بیشتر از ۷/۱ میکرومتر مربع مورد سنجش قرار گرفتند (شکل ۴ج). همچنین میانگین طول تازک اسپرم ۷۵/۳ \pm ۴/۵ میکرومتر مورد سنجش قرار گرفت. ۶۵ درصد از طول تازک اسپرم‌ها در محدوده ۷۲-۷۸ میکرومتر، ۱۰ درصد در محدوده ۷۰-۷۲ میکرومتر و هفت درصد در محدوده کمتر از ۷۰ میکرومتر قرار دارند. همچنین ۶ درصد در محدوده ۷۸-۸۰ و ۱۲ درصد در محدوده بیشتر از ۸۰ میکرومتر قرار دارند (شکل ۴د).

به علاوه میانگین طول کل اسپرم ۸۲/۳ \pm ۴/۵ میکرومتر مورد سنجش قرار گرفت. ۵۸ درصد از اسپرم‌ها در محدوده ۷۹-۸۵ میکرومتر، ۱۶ درصد در محدوده کمتر از ۷۹ میکرومتر و ۲۶ درصد در محدوده بیشتر از ۸۵ میکرومتر مورد سنجش قرار گرفتند (شکل ۴ه).

نتایج اندازه‌گیری پارامترهای ریخت شناسی اندازه‌گیری شده ۱۸۰ نمونه اسپرم در جدول ۱ آورده شده است. براساس نتایج، میانگین طول سر اسپرم ۷/۰۱ \pm ۰/۶۳ میکرومتر بود. ۴۹ درصد فراوانی طول سر اسپرم‌ها در محدوده ۶/۵-۷/۲۵ میکرومتر قرار داشتند. در مورد اسپرم‌هایی با طول سر کمتر از ۶/۵ میکرومتر، ۱۰ درصد از آن‌ها در محدوده ۶/۲۵-۶/۵ میکرومتر و نه درصد در محدوده کمتر از ۶/۲۵ میکرومتر قرار داشتند. در مورد اسپرم‌های با طول سر بیشتر از ۷/۲۵ میکرومتر، ۱۳ درصد در محدوده ۷/۵ و ۱۹ درصد در محدوده بیشتر از ۷/۵ میکرومتر قرار داشتند (شکل ۴الف).

میانگین عرض سر اسپرم ۱/۰۸ \pm ۰/۱۲ میکرومتر مورد سنجش قرار گرفت. ۵۳ درصد از عرض سر اسپرم‌ها در محدوده ۰/۹۹-۱/۱۷ میکرومتر، ۱۹ درصد در محدوده کمتر از ۰/۹۹ میکرومتر، ۱۱ درصد در محدوده ۱/۱۷-۱/۲۱ میکرومتر و ۱۷ درصد در محدوده بیشتر از ۱/۲۱ میکرومتر قرار داشتند (شکل ۴ب).

براساس نتایج میانگین سطح اسپرم ۵/۹ \pm ۰/۸۴ میکرومتر مربع بود. ۵۲ درصد اسپرم‌ها دارای سطح سر



شکل ۴: درصد فراوانی (الف) طول سر، (ب) عرض سر، (ج) سطح سر، (د) طول تاژک و (ه) طول کل اسپرم مارماهی دهان‌گرد خزری.

بوده و این ماهیان در مرحله‌ی نهایی رسیدگی قرار دارند (Ahmadi *et al.*, 2011).

نتایج این تحقیق به عنوان اولین مطالعه ساختار و فراساختار اسپرم گونه‌ی مارماهی دهان‌گرد خزری توسط میکروسکوپ الکترونی SEM بود. در تمامی ماهیان، اسپرم از سه بخش اصلی سر، قطعه‌ی میانی و دم تشکیل شده است (Linhart *et al.*, 1995)، اما در نتایج این تحقیق توسط میکروسکوپ الکترونی SEM قطعه‌ی میانی در اسپرم مارماهی دهان‌گرد خزری قابل مشاهده نبود. مطالعات Haruo و Tadashi (1981) در مورد گونه‌ی *Lampetra japonica* نیز وجود چنین ساختاری را تایید کرد (Haruo and Tadashi, 1981). البته بررسی میکروسکوپ TEM اسپرم گونه‌ی *Lampetra japonica* نشان داد که تعدادی میتوکندری در نزدیکی سانتریول و یا در قسمت‌های

بحث

نتایج مطالعه بافت‌شناسی نشان داد که در جنس نر مهاجر بهاره، بیضه در انتهای مرحله‌ی رسیدگی جنسی قرار داشته و دارای لوبول‌هایی مملو از اسپرم‌اتوزوید می‌باشد. این مشاهدات با بررسی‌های انجام گرفته توسط Ahmadi و همکاران (۲۰۱۱)، مطابقت دارد. همچنین Ahmadi و همکاران (۲۰۱۱) گزارش نموده بودند که، بیضه‌ی ماهیان نر در اوایل فصل بهار مملو از اسپرم‌اتوزوید وجود ندارد (Ahmadi *et al.*, 2011). اسپرم‌اتوزوید بوده و در هیچ یک از بیضه‌ها مارماهیان دهان‌گرد خزری دارای دو جمعیت بهاره و پاییزه می‌باشند که مهاجران پاییزه پس از زمستان گذرانی در رودخانه، در فصل بهار اقدام به تخم‌ریزی می‌کنند (ستاری، ۱۳۸۱). اما مطالعات اخیر نشان داد بیضه‌ی جمعیت‌های پاییزه نیز مملو از اسپرم‌اتوزوید

ویژگی های کلی ساختار اسپرماتوزوید مارماهی دهان گرد خزری مشابه گونه های هم خانواده ای خود بود، و تنها تفاوت آن در اندازه طول سر اسپرم می باشد. بنابراین در یک نتیجه گیری کلی می توان بیان داشت که اسپرم مارماهی دهان گرد خزری استوانه ای شکل با سری طویل و کشیده و دیواره های صاف و بدون چین خوردگی است و در آن آکروزوم به صورت مسطح در سطح قدامی قرار داشته و قطعه ای میانی آن به صورت مجزا قابل مشاهده نمی باشد. اسپرم این گونه در مقایسه با سایر گونه های لامپری کوتاه تر و دارای طول و کشیدگی سر کم تری است و همچنین شکل کیسه ای آکروزوم نیز در قسمت قدامی آن به صورت مسطح می باشد. در نهایت، استفاده از میکروسکوپ الکترونی TEM جهت مطالعه فراساختار اسپرم مارماهی دهان گرد خزری و کشت بلند مدت بافت بیضه، جهت بررسی کامل فرایند اسپرماتوزنیز در طول فصل تولید مثل برای مطالعات آتی پیشنهاد می گردد.

منابع

۱. ستاری، م.، ۱۳۸۱. ماهی شناسی ۱. تهران، انتشارات نقش مهر، ۶۵۹ صفحه.
2. Ahmadi, M., Mojazi Amiri, B., Abdoli, A., Fakharzadeh, S.M.E., Hoseinifar, S.H., 2011. Sex steroids, gonad histology and biological indices of fall and spring Caspian lamprey (*Caspiovymzon wagneri*) spawning migrants in the Shirud River, Southern Caspian Sea. Environmental Biology of Fishes, 92, 229-235.
3. Banaee, M., Sureda, A., Mirvaghefi, A.R., Ahmadi, K., 2013. Biochemical and histological changes in the liver tissue of Rainbow trout (*Oncorhynchus mykiss*) exposed to sub-lethal concentrations of diazinon. Fish Physiology and Biochemistry, 99, 1-6.
4. Billard, R., 1986. Spermatogenesis and spermatology of some teleost fish species. Reproductive Nutrition, 2, 877-920.
5. Billard, R., Cosson, M.P., 1992. Some problems related to the assessment of sperm anehaii سر اسپرماتوزوئید در محل اتصال تازه ک وجود دارد (Haruo and Tadashi, 1981).
- نتایج نشان داد که قسمت سر اسپرم در مارماهی دهان گرد خزری استوانه ای شکل و کشیده می باشد. طول سر ۶/۵-۷/۲ میکرومتر، عرض آن ۱-۱/۷ میکرومتر و سطح آن ۵/۶-۶/۵ میکرومتر مریع می باشد. *Lampetra japonica* که طول قسمت سر در *Lampetra planeri* حدود ۸ میکرومتر و در *Jamieson, 1991* ۱۴-۱۶ میکرومتر گزارش شده است (Jamieson, 1991). بنابراین می توان نتیجه گرفت طول سر اسپرم در مارماهی دهان گرد خزری کم تر و از کشیدگی کم تری نسبت به سایر دهان گردان هم خانواده ای خود برخوردار است. همچنین در این تحقیق طول کل اسپرماتوزوئید در مارماهی دهان گرد خزری ۷۹-۸۵ میکرومتر اندازه گیری شد، در حالی که طول کل اسپرماتوزوئید در *Lampetr japonica* ۱۳۰ میکرومتر و در *Lampetra planeri* ۱۴۰ میکرومتر گزارش شده است (Jamieson, 1991). بنابراین طول کل و طول تازه ک نیز در گونه های مارماهی دهان گرد خزری نسبت به سایر گونه های لامپری از طول کم تری برخوردار می باشد. از دیگر ویژگی های متفاوت اسپرم دهان گرد خزری با سایر گونه های لامپری شکل کیسه ای آکروزوم می باشد. کیسه ای آکروزوم در دهان گرد خزری بررسی شده در این آزمایش، در قسمت قدامی سر قرار دارد و قسمت جلویی آن مسطح می باشد. در حالی که طبق گزارش های انجام شده کیسه ای آکروزوم، در گونه *Lampetra planeri* تخم مرغی *Lampetra japonica* شکل می باشد، و در گونه *Jaana and Yamamoto, 1981* مانند گونه خزری، مسطح است (Yamamoto, 1981).

- of the Institute of Zoology, Academia Sinica, 16, 285-311.
11. Linhart, O., Mims, S. D., Shelton, W. L., 1995. Motility of spermatozoa from shovelnose sturgeon (*Scaphirhynchus platoryneclus* Rafinesque, 1820) and paddlefish (*Polyodon spathula* Walbaum, 1797). Journal of Fish Biology, 97, 902-909.
 12. Pecio, A., Burns, J. R., Weitzman, S. H., 2005. Sperm and spermatozeugma ultrastructure in the inseminating species *Tyttocharax cochui*, *T. tambopatensis*, and *Scopaeocharax rhinodus* (Pisces: Teleostei: Characidae: Glandulocaudinae: Xenurobryconini). Journal of Morphology, 263, 216-226.
 13. Psenicka, M., Hadi Alavi, S. M., Rodina, M., Gela, D., Nebesarova, J., Linhart, O., 2007. Morphology and ultrastructure of Siberian sturgeon (*Acipenser baerii*) spermatozoa using scanning and transmission electron microscopy. Biology of the Cell, 99, 103-115.
 6. Haruo, J., Tadashi, S.Y., 1981. The ultrastructure of spermatozoa with a Note on the Formation of the Acrosomal Filament in the Lamprey, *Lampetra japonica*. Japanese Journal of Ichthyology, 28, 135-141.
 7. Jaana, H., Yamamoto, T.S., 1981. The ultrastructure of spermatozoa with a note on the formation of the acrosomal filament in the lamprey, *Lampetra japonica*. Japanese Journal of Ichthyology, 28, 135-141.
 8. Jamieson, B.G., 1991. Fish Evolution and Systematics: Evidence from Spermatozoa. Cambridge University Press, New York. 319 p.
 9. Kobayashi, W., 1993. Effect of osmolality on the motility of sperm from lamprey, *Lampetra japonica*. Zoological Science, 10, 281-285.
 10. Linhart, O., Slechta, V., Slavik, A., 1991. Fish sperm composition and biochemistry. Bulletin